

지능형빌딩의 대단위접지극의 전위간섭에 대한 실증연구

고희석* · 김주찬* · 최종규** · 김맹현***
경남대학교* · 마산대학** · 한국전기연구원***

An experimental research for Potential Interference of a Mesh electrode in Intelligent Building System

Hee-Seog Koh* · Ju-Chan Kim* · Jong-Gyu Choi** · Maeng-hyun Kim***
Kyunanam Univ* · Masan College** · Keri***

Abstract - This is for investigating the grounding resistance of grounding electrodes, the experiment was performed with model-scale of the grounding system and the scaled model grounding system was to this experiment using a water tank of a stainless steel-hemisphere shape. since mesh electrodes have been widely in the general building, we're tried to analyze that this water tank model and it's simulation as well.

1. 서 론

메쉬 접지는 망상 접지라 불리기도 하며 그 구조 특성 상 아주 넓은 면적에 포설 한다. 이 방식은 그물 모양으로 포설하는 접지로써 대지 저항률이 높은 지역이나, 건물의 밑바닥 같이 넓은 면적에 주로 시공한다. 메쉬 접지의 효과는 매우 우수하며 낮은 접지저항을 얻을 수 있고, 낮은 접촉전압이나 보폭전압을 얻기가 쉽다.^[1~3] 하지만 매우 넓은 면적이 필요하고 시공이 어려우며, 시공 비가 비교적 비싼 편이다. 또한 유지 보수가 불가능하므로 처음 시공시에 확실하게 시공을 하여야 한다. 일반적으로 메쉬 접지는 발전소나 변전소 등에서는 필수적으로 시공되며, 플랜트나 공장과 같은 활용 면적이 큰 장소에서도 많이 시공한다. 이와같은 상황에 있어서 어느 접지계에 접지전류가 유입된 경우 다른 접지계에 전위의 상승, 즉 접지극간의 전위간섭이 문제가 된다. 종래의 전위간섭의 연구는 접지극의 지표면의 전위분포계산식을 이용해서 간단히 전극간의 거리관계만으로 검토되어 왔지만 염밀하게 전극형상에 의한 전극표면전위를 고려해서 넣어 검토할 필요가 있다.^[4~6]

그래서 본 논문에서는 모의축소접지계를 구성하여 이를 확인하는 실험적인 방법으로 스텐레스제 반구상수조를 이용하여 접지극의 접지저항을 추정하고자 한다. 특히, 일반건축물에서 보편화되어 널리 시공되고 있는 메쉬접지극을 수조모의 실험에 의해 해석하고자 한다.^[7~10]

2. 본 론

[1] 메시수와 메시 계수

지금까지는 메시상 접지 전극에 대한 상세한 구조를 무시하고 구조가 차지하는 최대면적에만 주목해 왔다. 메시상 접지 전극에 관해서는 그 최대 면적이 동일하더라도 형상등이 달라지는 경우에 접지 저항이 어느 정도 변하는가 등의 검토해야 하며, 이를 문제점 가운데 메시접지극에 있어 특징적이고 실용상 중요한 것이 메시수와 메시 계수의 파악이다. 그래서 메시 계수 M은 다음과 같이 표현된다.

$$M = \frac{\text{메시수가유한할때의접지저항}}{\text{메시수가무한할때의접지저항}} \quad (2-1)$$

[2] 메쉬접지저항값 측정 변화

실제의 메쉬접지극을 시설하는 곳에서 접지저항값을 측정하였고, 메쉬접지극을 시공시작부터 시간이 경과하면서 접지저항값의 변화를 표2-1에 나타낸다. 이때 사용한 측정계기와 수조모델실험에 사용된 계측기를 표 2-2에 나타낸다. 계측기를 아날로그식과 디지털식을 동시에 사용한 것은 계통오차를 줄이기 위한 방법이었다.

시공진행상황에 맞춰 접지저항값을 측정을 하면서 접지저항값의 측정은 접지극이 매설된 동일 지층에서 측정을 하는 것이 더 타당하는 것을 확인 할 수 있었다. 이것은 타의 지층에서 매설된 접지저항값을 측정하는 것은 전대지에서 접지극을 볼 때는 접지극과 그의 계측기가 하나의 점으로 인식이 되지만, 실제의 측정에서는 표2-1과 그림2.1에서 측정방법을 현관방향으로 측정할때와 암반방향으로 측정을 할때의 보조접지극(probe)과 접지극이 적용되는 대지가 서로 다른 지층에 위치한다는 것은 대지저항률이 서로 상이하므로 접지저항값이 암반위에서 보조극을 시설할 때가 더 높은 값으로 측정되었다.

표 2-1 시공진행상황에 따른 메쉬저항값변화

측정날짜	접지저항값[Ω]	비고
2005.03.07	18.53	메쉬접지극 시설시
2005.03.08	16.66	접지저감제 살포
2005.03.09	18.06	흙담기작업후
2005.03.14	18.03 ~ 18.05	메쉬접지시설 완료 측정 : 현관방향
	22.14	메쉬접지시설 완료 측정 : 암반방향
2005.03.19	9.35	콘크리트捣기작업후 -2층넘기
2005.03.22	10.25	지하 1층 철근 작업시작
2005.03.29	8.98	지하 1층 철근 작업 중

표 2-2 측정에 사용된 계측기

기기명칭	제조원	제원
P-메터 (전도음계)	(주)동아電波 工業(Japan)	CM-21P
교류전류계	HWA SHIN	TYPE : HS 7015 CLASS : 0.5
디지털전압계	EZ	Digital Multimeter (DM-441B)
AVR	삼풍전원시스템	정격용량 : 2kva
슬라이더스	삼신전업사	정격용량 : 2kva (0~120[V])
설연변압기	삼풍전원시스템	정격용량 : 1kva
접지 저항계	HWA SHIN GEO-X(디지털)	0 ~ 10/100/1000 (3 range) 0.02[Ω] ~ 300[kΩ]

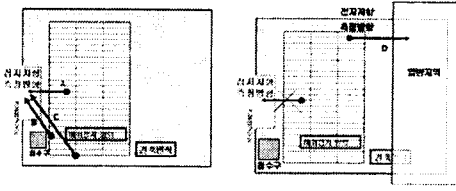


그림 2.1 배수점지극의 측정방향에 대한 고려



사진 2.1 배수점지극의 매설현장

표 2-3 접지저항의 깊이에 따른 변화
(배수점지극)

접지저항	이론 계산값	측정 저항값	측정날짜
R (매설깊이이=0.1)	19.318	18.53	2005.03.07
R (매설깊이이=0.2)	9.880	9.35	2005.03.19
R (매설깊이이=0.3)	6.734	8.98	2005.03.29

3 모델전극에 의한 수조모의 실험방법

3.1 각판상접지극의 수조시뮬레이션

수조모의실험에 대한 이론적인 내용을 살펴보면 다음과 같다. 접지전극을 설계할 때 모양이 복잡한 전극인 경우에는 계산공식을 유도하는 것이 곤란하다. 이러한 경우 접지저항을 추정하는 편리한 방법으로서 모형실험법이 있다. 접지의 모형 실험법은 그림 3.1과 사진3.1-3.2와 같이 수조 속에 접지 전극의 축적모형(스케일모델)을 배치하여 측정하는 방법이다. 접지의 모형실험을 하는 데에는 먼저 균질 대지와 유사한 환경을 만들어야 한다. 수조모의실험에서는 아래 그림과 같이 물을 가득 채운 수조를 균질 대지에 가깝게 만든다.

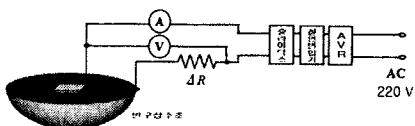


그림 3.1 수조실험 장치

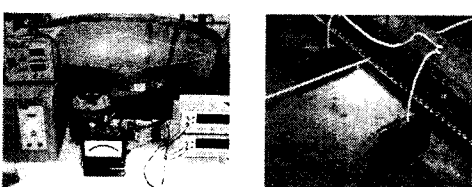


사진 3.1 수조실험장치 사진 3.2 수조실험 A전극 배치

그래프로 실험에 의한 데이터를 대신하고, 각각의 데이터의 정확성과 비교를 위해서 전극A(간섭원)과 전극B(간섭을 받는전극)의 크기를 되도록 이면 수조의 유한

크기에 대해서 전극A의 경우는 수조의 크기의 1/8의 크기정도의 가로×세로(10×10 [Cm])으로 했다. 그리고 전극B의 크기는 표 3-1와 같이 간섭의 정도에 영향을 받기 쉬운 크기를 선정해서 실험을 행했다.

표 3-1 전극의 재료의 선정

전극종류	전극A의크기	전극B의크기	비고
전극크기	10×10 Cm	1×1 Cm	깊이변화
	10×10 Cm	2×2 Cm	깊이변화
	10×10 Cm	3×3 Cm	깊이변화
	10×10 Cm	5×5 Cm	깊이변화
	10×10 Cm	8×8 Cm	깊이변화
	10×10 Cm	10×10 Cm	깊이변화

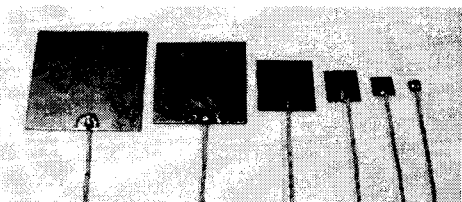
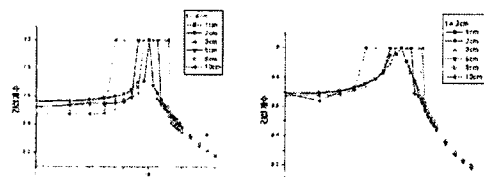
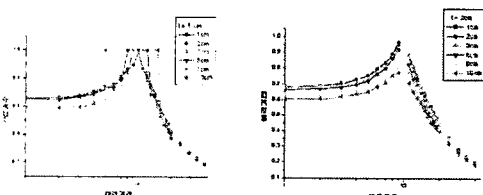


사진 3.3 모델접지극(B)

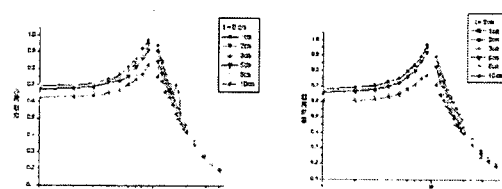
그림3.2와 그림3.3 같이 전극B의 크기가 적을수록 그리고, 전극B의 배치방법이 수직일 때 보다 수평일 때가 더욱 간섭의 영향이 크다는 것을 알 수 있었다.



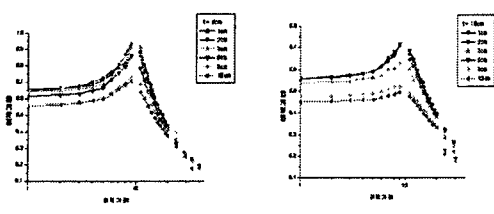
(a) $t = 0$ 경우 (b) $t = 2$ 경우



(c) $t = 5$ 경우 (d) $t = 10$ 경우
그림 3.2 수직 배치의 경우



(a) $t = 0$ 경우 (b) $t = 2$ 경우



(c) $t = 5$ 경우 (d) $t = 10$ 경우
그림 3.3 수평 배치의 경우

3.2 매쉬접지극의 수조시뮬레이션

접지시뮬레이션의 모형 실험법은 그림 3.1과 사진3.1과 같이 수조 속에 접지 전극의 스케일모델을 배치하여 측정하였다.

그리고 매쉬접지전극에 있어서 특징적이고 실용상 중요한 것은 매쉬수와 매쉬계수의 파악이다. 표 3-2과 그림 3.4에 의해서 매쉬수와 매쉬계수의 개념을 설명한다. 매쉬전극이 차지하는 면적을 정방형으로 한다. 이 정방형의 외주에 따라서만 도체를 매설하여 접지전극으로 했을 경우를 매시수1, 즉 그물코의 수를 1로 한다. 이렇게 해서 차례로 각 매쉬 속에 선상전극을 등분해가면 최종적으로 전극은 정방판이 된다. 매쉬전극의 접지저항 R 은 매쉬계수 M 을 이용하여 식2-1와 같이 표현할 수 있다. 그림3.4에는 매쉬계수(M)과 매쉬수(N)의 관계를 보여주고 있다. 단, 도체의 굽기는 일정하다. 매시수(N)가 무한대일 때는 팬상 전극의 접지저항이 가장 낮기 때문에 항상 $M > 1$ 이다.

따라서 N 이 커지면 재료비 및 시공비가 급격히 증가하게 되므로 N 을 극단적으로 크게 할 수 없다.

표 3-2 모델 전극의 굽기에 따른 매쉬계수

매쉬계수	1	4	9
전선	1.1438	1.1642	1.0448
0.8mm	1.1098	1.0816	1.0245
2mm	1.0708	1.0296	1.0007

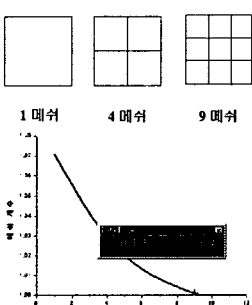


그림 3.4 매쉬수와 매쉬계수
0.25[mm]의 봉상전극을 사용해 매설 깊이는 접지계 A가 0[mm], 접지계 B가 25[mm], 50[mm], 100[mm]의 3양상으로 했다.

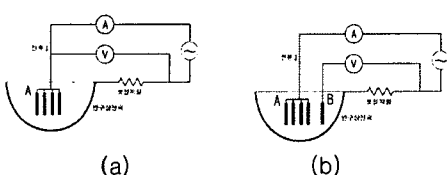


그림 3.5 실험회로

전원을 상용전원 (60Hz, 220V)은 스라이드스에 의해서 전압을 조정해 전류를 일정하게 유지했다. 수돗물의 저항률은 측정의 직전에 아크릴 수조를 사용해 측정하게 했다.

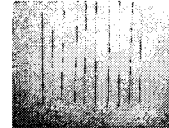


사진3.5 모델전극

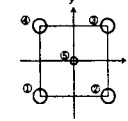


그림3.6 전극의 배치

3.3 측정결과

앞서 서술한 측정에 의해 얻어진 결과는 그림3.7~그림3.8에 나타내고 있다. 실험에 의해 얻어진 매설깊이의 변화에 의해 변화하는 전위간섭계수를 나타낸다. 그림3.7~그림3.8의 전극A에 대한 각각 전극B가 봉상전극경우만을 나타내고 있다. 또한 전극의 매설깊이를 변화시켜도 양호한 일치를 나타내었다.

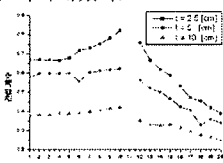


그림 3.7 극(y)방향 데이터

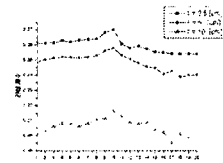


그림 3.8 극(x)방향 데이터

4. 결론

일반적으로 매쉬접지극의 저항값은 낮은 것으로 알려져 있다. 건축 구조체의 지하부분이 대지와 접촉하고 있는 접촉면을 매쉬접지극의 접촉면으로 상정하고, 그때의 형상을 매쉬접지극형상을 모델로 하여 스케일로 제작을 했다. 접지전극을 설계할 때 전극형상의 계산식은 아직 없으므로 접지저항을 추정하는 편리한 방법으로 접지시뮬레이션을 이용하게 된다. 그 방법중의 하나가 수조모델에 의한 접지전극의 매쉬계수와 전위간섭에 의한 추정법이다. 본 실험의 결과에서 전극의 매쉬계수를 도입하는 것에 의해 전극의 접지저항이 정밀도 높게 추정할 수 있고, 이것은 사진2.1, 표2-3, 표3-2의 내용과 같이 실제의 접지극으로 사용된 매쉬극과 동일한 재료를 이용하여 매쉬계수를 추정하고, 아무리 이론적으로 타당한 접지극의 설계라 할지라도 실제에 적용하기 위해서는 동일한 재료를 사용하는 것이 더 타당할 것이다.

따라서 매쉬계수를 얻기 위한 가장 간단한 방법인 수조모델 실험으로 접지저항을 충분히 추정할 수 있고, 접지전극 설계에 기여할 수 있을 것이다.

참고문헌

- [1] 高橋「接地技術の動向」電學誌 106, 357 (昭61-4)
- [2] E.D.Sunde : Earth Conduction Effects in Transmission Systems (1968) Dover Publication Inc
- [3] 高橋・美多・川瀬 : 「並列接地の集合係數】について 電氣學誌 會電力應用研資 EPA-78-5 (昭53)
- [4] 大矢, 他 : 「電極と並列接地による接地抵抗の低減化」電學論 B, 106, 911 (昭61-10)
- [5] 高橋 : 「多層大地における深打接地と浅打並列接地の接地抵抗」電氣設備學會 Vol.16.No.10. 平成8年10月
- [6] 高橋, 他 : 「棒状電極の接地インピーダンスの數値計算」電誌論 B 103, 183 (昭58-3)
- [7] 馬淵, 高木:「棒状接地極の接地抵抗値の算定について」電力技術研究所所報, 6, 40(昭-1)
- [8] G.F.Tagg : "Earth Resistances", George Newnes Ltd.
- [9] H.B.Dwight : Effects of resistance to Ground Electrical Engineering, No.12.1936
- [10] 高橋 : 「棒状接地極の電位分布計算式の表現」電氣設備學會誌 Vol.18.No.11, 平成10年11月